

# Shape Invariant Model: problème inverse et méthodes bayésiennes

S. Gadat

Institut de Mathématiques de Toulouse  
Université Paul Sabatier

**Séminaire du GREMAQ, 23 Octobre 2012**

## I - Introduction

I - 1 Motivations

I - 2 Modèle statistique déformable

I - 3 Question posée

## II Méthodes dites de "Recalage"

II - 1 Estimation par recalage + moyenne

II - 2 Définition de la distance adaptée

II - 4 Application de la Moyenne de Fréchet

II - 5 Fiabilité des processus de recalages

## III Estimations statistiques dans les modèles de shifts

III - 1 Approche par déconvolution

III - 2 Lien avec un problème inverse

III - 3 Exemple numérique de déconvolution

III - 4 Bilan sur l'approche déconvolution

III - 5 Estimation Bayésienne (aspects fréquentistes)

## Conclusion

## I - 1 Motivations

**Questions pour le statisticien :** Comparer des objets qui partagent des caractéristiques de **formes communes** et extraire des informations sur la distribution de ces objets

### Outils

- ▶ Statistiques du premier ordre : moyenne empirique
- ▶ Statistiques du second ordre : matrice de covariance - Analyse en composante principale (**ACP**)

Soient  $n$  variables aléatoires  $Y_m, m = 1, \dots, n$  i.i.d. La moyenne empirique est

$$\bar{Y}^n = \frac{1}{n} \sum_{m=1}^n Y_m$$

Puis, l'ACP consiste à diagonaliser la covariance empirique

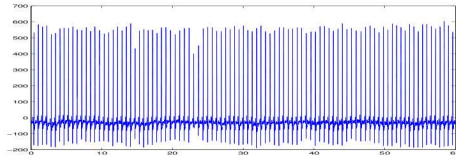
$$S = \frac{1}{n} \sum_{m=1}^n (Y_m - \bar{Y}^n)(Y_m - \bar{Y}^n)',$$

et choisir les premiers v. propres comme modes de variations principaux.

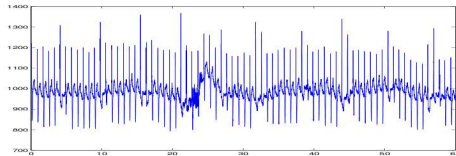
## I - 1 Motivations : Applications en biologie

**Problématique** : On s'intéresse à des données qui partagent des caractéristiques de **forme commune**.

ECG de deux patients Normal / Arythmie



(a)

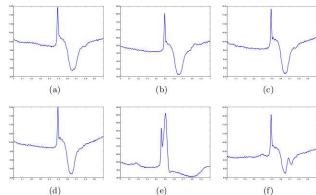
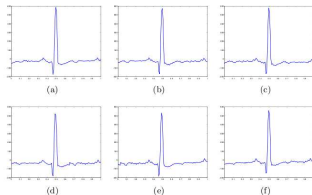


(b)

Source : J. Bigot 2012, *Preprint, Fréchet means of curves for signal averaging and application to ECG data analysis*

# I - 1 Motivations : Applications en biologie

## Données ECG "Zoomées"



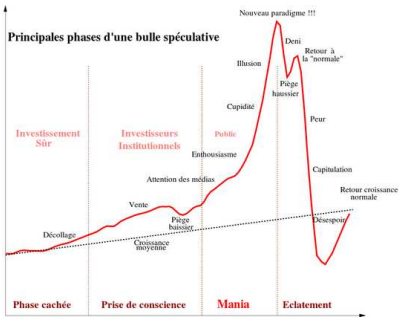
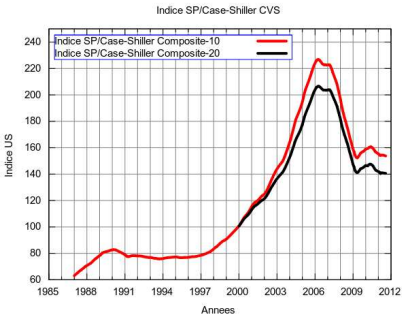
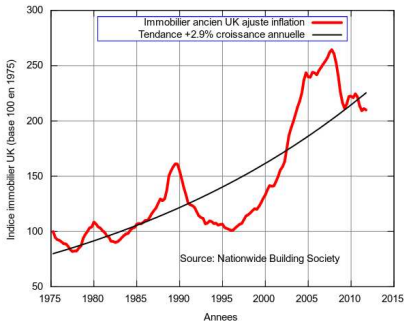
Gauche : Cycles Normaux / Droite : Cycles Arythmiques

Source : J. Bigot 2012, Preprint, *Fréchet means of curves for signal averaging and application to ECG data analysis*

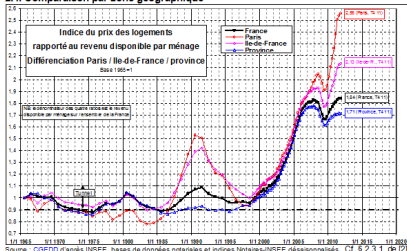
Chacune des classes de signaux semble posséder une **forme caractéristique** qui la distingue de l'autre classe.

# I - 1 Motivations : Applications en économie

## Bulles spéculatives



### 2.4. Comparaison par zone géographique

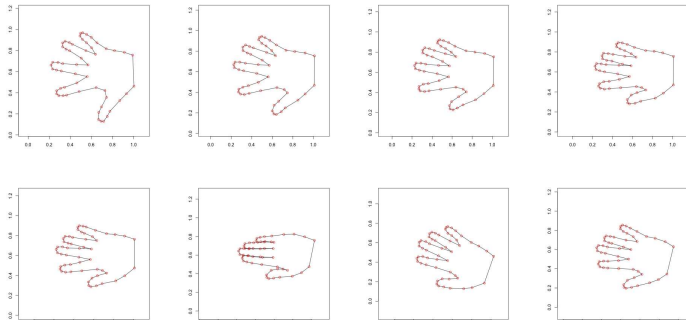


# I - 1 Motivations : Applications en traitement de l'image

**Données** : Images de  $N \times N$  pixels, i.e.  $\mathcal{H} = \mathbb{R}^{N \times N}$

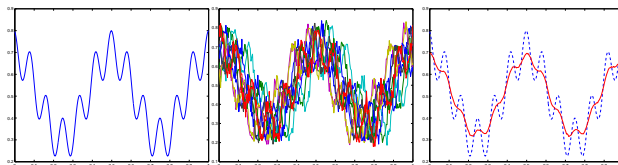


**Données** : formes planes de mains pour  $k = 13$  landmarks (points rouges)



# I - 1 Exemples de moyenne empirique

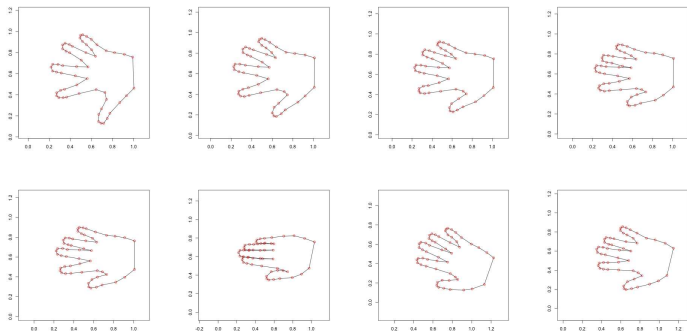
Courbes / Images





## I - 1 Un exemple pour l'analyse de formes

**Données** : formes planes de mains pour  $k = 13$  landmarks (points rouges)



**Problème** : Approches standard non adaptées pour les données  $Y_m$  déformés puisque  $\bar{Y}^m$  n'est pas une bonne estimation de la forme moyenne.

**Objectifs idéaux** : Proposer un estimateur "consistant" de la forme moyenne d'un ensemble de données et estimer les modes de variations.

**Dans cet exposé** : Décrire ce qui est possible ou non d'un point de vue statistique, dans des cadres plus ou moins limitatifs pour la **forme moyenne**.

## I - 2 Modèle Statistique

**Idée** : les  $n$  signaux sont modélisés comme la déformation d'une forme commune par l'action d'un groupe de transformation.

**Modèle déformable** : l'observation  $Y_m : \Omega \rightarrow \mathbb{R}$ ,  $m = 1, \dots, n$  vérifie

$$Y_m(x) = \mathbf{f} \circ \phi_m(x) + Z_m(\phi_m(x)) + W_m(x), \quad x \in \Omega, \text{ où}$$

- ▶  $\mathbf{f} : \mathbb{R}^d \rightarrow \mathbb{R}$  est la forme commune inconnue
- ▶  $\phi_m$  : déformations aléatoires qui modélisent des variations de forme de  $\mathbf{f}$ .
- ▶  $Z_m(x)$  est un processus centré : modélise les variations en intensité
- ▶  $W_m$  est un bruit additif indépendant de moyenne nulle

**Dans cet exposé** : Comment estimer  $\mathbf{f}$  et  $\phi_m$  lorsque  $n \rightarrow +\infty$  ?

On supposera par la suite qu'il n'y a pas de variabilité en intensité ( $Z = 0$ ).

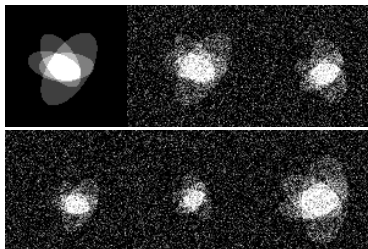
# I - 2 Différents modèles de déformations

## Déformations rigides

- ▶ Translation :  $\phi(x) = x - \tau$  où  $b \in \mathbb{R}^d$
- ▶ Rotation + scaling (dans  $\mathbb{R}^2$ ) :  $\phi(x) = \frac{1}{a}A_\theta x$  avec  $a \in \mathbb{R}^+$  et

$$A_\theta = \begin{bmatrix} \cos(\theta) & \sin(\theta) \\ -\sin(\theta) & \cos(\theta) \end{bmatrix}$$

- ▶ Affine (Translation + rotation + scaling) :  $\phi(x) = \frac{1}{a}A_\theta(x - \tau)$ , soit 2D ou 3D
- ▶ Exemple sur le "fantôme de Shepp Logan"



**Déformations élastiques** : Un autre monde...

## I - 3 Question posée ?

**Modèle le plus simple :** Observation de courbes shiftées aléatoirement

$Y_m : [0, 1] \rightarrow \mathbb{R}$ ,  $m = 1, \dots, n$  telles que

$$Y_m(x) = f(x - \tau_m) + W_m(x), \text{ pour } x \in [0, 1], \text{ où} \quad (1)$$

- ▶  $f : [0, 1] \rightarrow \mathbb{R}$  est 1-périodique
- ▶ les  $\tau_m$  sont des shifts aléatoires i.i.d. de loi de densité  $g$
- ▶ les  $W_m$  sont des bruits additifs centrés indépendants des shifts

**La moyenne empirique est inconsistante :** si  $n \rightarrow +\infty$

$$\bar{Y}^n(x) = \frac{1}{n} \sum_{m=1}^n Y_m(x) \rightarrow \mathbb{E}f(x - \tau_1) = \int f(x - \tau)g(\tau)d\tau = f \star g(x) \neq \mathbf{f}(x)$$

**La suite de cet exposé se cantonnera à des estimations dans le modèle de shift aléatoire lorsque  $n \mapsto +\infty$  pour  $f$ ,  $(\tau_m)_{m=1\dots n}$  et  $g$ .**

## I - Introduction

I - 1 Motivations

I - 2 Modèle statistique déformable

I - 3 Question posée

## II Méthodes dites de "Recalage"

II - 1 Estimation par recalage + moyenne

II - 2 Définition de la distance adaptée

II - 4 Application de la Moyenne de Fréchet

II - 5 Fiabilité des processus de recalages

## III Estimations statistiques dans les modèles de shifts

III - 1 Approche par déconvolution

III - 2 Lien avec un problème inverse

III - 3 Exemple numérique de déconvolution

III - 4 Bilan sur l'approche déconvolution

III - 5 Estimation Bayésienne (aspects fréquentistes)

## Conclusion

## II - 1 Idée naïve : Estimation par recalage + moyenne

- ▶ On observe  $Y_j, j = 1 \dots n$  issue du modèle (1).
- ▶ On estime tous les paramètres de déformation  $\tau_j$  ( $g_j \in G$ ) qu'on inverse pour obtenir  $-\hat{\tau}_j$  ( $\hat{g}_j^{-1} \in G$ ).
- ▶ On obtient alors une estimation en utilisant une moyenne empirique des observations recalées :

$$\bar{Y}^n = \frac{1}{n} \sum_{j=1}^n Y_j \cdot \hat{g}_j^{-1} = \frac{1}{n} \sum_{j=1}^n Y_j(x + \hat{\tau}_j).$$

- ▶ Est-ce envisageable d'estimer correctement les  $\tau_j$  ? Sous quelle asymptotique (nombre de répétitions, niveau de bruit, ... ) ?

## II - 2 Définition de la distance adaptée

### Quelle distance mettre sur les objets observés ?

- ▶ **Distance euclidienne**  $d$  sur  $\mathcal{H}$  associée à  $\langle \cdot, \cdot \rangle_{\mathcal{H}}$

$$d(y, y') = \|y - y'\|_{\mathcal{H}} = \sqrt{\langle y - y', y - y' \rangle_{\mathcal{H}}} \text{ pour } y, y' \in \mathcal{H}$$

**Ce choix conditionne déjà les statistiques du premier ordre...**

$$\bar{Y}_n = \frac{1}{n} \sum_{j=1}^n Y_j = \arg \min_{y \in \mathcal{H}} \sum_{j=1}^n \|Y_j - y\|_{\mathcal{H}}^2$$

- ▶ **Distance associée au Groupe de déformation** : si  $G = [0, 1]$  agit sur  $f \in L_{per}^2([0, 1])$  au travers de  $g_{\theta} \cdot f(t) = f(t - \theta)$ , on définit  $d_G$  :

$$d_G^2(Y, h) := \inf_{g \in G} d_E^2(Y, g \cdot h) = \inf_{\tau \in [0, 1]} \int_0^1 |Y(x) - h(x - \tau)|^2 dx$$

La moyenne au sens de Fréchet pour  $d_G$  est  $\tilde{Y}^n \in \arg \min_{h \in \mathcal{H}} \sum_j d_G^2(Y_j, h)$ .

## II - 3 Estimation par Moyenne de Fréchet

**Moyenne de Fréchet empirique**  $\tilde{Y}^n \in \arg \min_{y \in \mathcal{M}} \frac{1}{n} \sum_{m=1}^n d_G^2(y, Y_m)$ .

**Moyenne de Fréchet théorique**  $Y^F := \arg \min_{y \in \mathcal{M}} \mathbb{E}_{W,g} d_G^2(y, Y_{W,g})$

- ▶ Consistance et convergence de  $\tilde{Y}^n$  vers  $Y^F$  lorsque  $n \rightarrow +\infty$  démontrée dans le cas où  $\mathcal{M}$  est une variété Riemannienne de **dimension finie**.
- ▶ **Problème** : Résultats non adaptés à l'étude des moyennes de Fréchet pour les courbes ou images paramétrées (dimension "infinie").

### Calcul de la moyenne de Fréchet Empirique

**Étape 1** - Registration/warping des données

$$(\hat{\tau}_1, \dots, \hat{\tau}_n) = \arg \min_{(\tau_1, \dots, \tau_n) \in [0,1]^n} \left\{ \frac{1}{n} \sum_{j=1}^n \int_{\Omega} \left| Y_j(t - \tau_j) - \frac{1}{n} \sum_{m=1}^n Y_m(t - \tau_m) \right|^2 dt \right.$$

**Étape 2** - Alignement et moyennisation des données

$$\hat{Y}_n = \frac{1}{n} \sum_{j=1}^n Y_j(\cdot - \hat{\tau}_j)$$



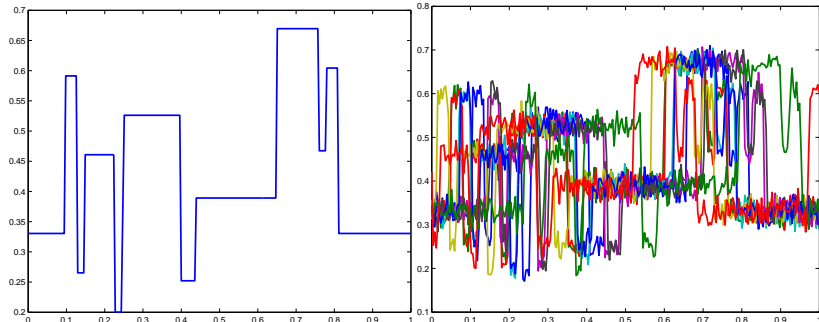
## II - 4 Exemple de moyenne de courbes

**Données** : courbes translattées  $f \in L^2_{per}([0, 1])$  + modèle de bruit blanc

$$Y_j(t) = f(t - \tau_j) + W_j(t), \text{ for } t \in [0, 1], \text{ et } \tau_j \text{ iid translations aléatoires,}$$

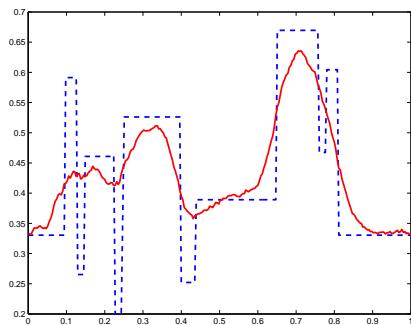
$$j = 1, \dots, n$$

Courbe  $f$  / Échantillon de 10 parmi  $n = 200$

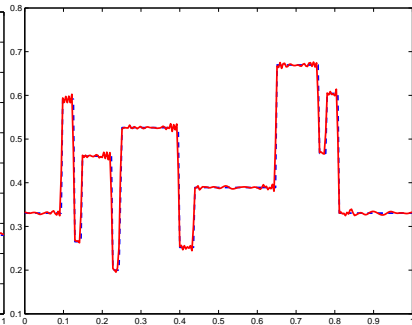


## II - 4 Exemple de moyenne de courbes

**Moyenne euclidienne**



**Moyenne de Fréchet**



BG, AOS, '10

## II - 4 Exemple de moyenne d'images par moyenne Procruste

**Moyenne euclidienne**

**Moyenne Procruste**



## II - 5 Fiabilité des processus de recalages (1)

**Cadre :**  $Y_j(t) = f(t - \tau_j^*) + \epsilon W_j(t)$ , bruit blanc et  $\tau_j^*$  i.i.d.  $\sim g$ .

Le problème est clairement non identifiable en l'état, mais si on suppose

- ▶  $(H_g)$  :  $g$  à support compact dans  $\mathcal{T} = [-\frac{1}{4}, \frac{1}{4}]$ , de moyenne nulle.
- ▶  $(H_f)$  : La fonction  $f$  est telle que  $c_1(f) > 0$

### Theorem (BG, AOS '10)

Sous  $(H_f)$  et  $(H_g)$ , le modèle en  $f$  est identifiable. Par moyenne de Fréchet, les décalages  $(\hat{\tau}_j)_{j=1\dots n}$  tels que  $\sum_j \hat{\tau}_j = 0$  vérifient

$$\mathbb{P} \left( \frac{1}{n} \sum_{m=2}^n (\hat{\tau}_m - \tau_m^*)^2 \geq C(f, \ell_0, \epsilon, n, t, g) \right) \leq 3 \exp(-t), \quad (2)$$

**Outils :**  $M$  estimation associée à l'inégalité de Bernstein

**Premier bug :** La constante  $C(f, \ell_0, \epsilon, n, t, g)$  **ne tend pas vers 0 lorsque  $n$  augmente!** Cela ne peut se produire qu'uniquement lorsque  $\epsilon$  tend aussi vers 0 (niveau de bruit évanescent, ou augmentation de la résolution).

## II - 5 Fiabilité des processus de recalages (2)

**Cadre :**  $Y_j(t) = f(t - \tau_j^*) + \epsilon W_j(t)$ , bruit blanc et  $\tau_j^*$  i.i.d.  $\sim g$ .

**Deuxième bug :** En fait, on ne peut pas estimer les paramètres de recalage correctement à la vue du résultat suivant :

**Theorem (BG, AOS '10)**

Sous  $(H_f)$  et  $(H_g)$ , **quels que soient des estimateurs**  $(\hat{\tau}_1, \dots, \hat{\tau}_n)$  des vrais paramètres de recalage  $(\tau_1^*, \dots, \tau_n^*)$ , on a

$$\mathbb{E} \left( \frac{1}{n} \sum_{j=1}^n (\hat{\tau}_j - \tau_j^*)^2 \right) \geq \frac{\epsilon^2}{\sum_{k \in \mathbb{Z}} (2\pi k)^2 |c_k(f)|^2 + \epsilon^2 \int_{\mathcal{T}} \left( \frac{\partial}{\partial \theta} \log g(\tau) \right)^2 g(\tau) d\tau} > 0.$$

**Ultime bug :**

**Theorem (BGKM '12, BC'11)**

Sous  $(H_f)$  et  $(H_g)$ , **quels que soient des estimateurs**  $(\hat{\tau}_1, \dots, \hat{\tau}_n)$  des vrais paramètres de recalage  $(\tau_1^*, \dots, \tau_n^*)$ , on a

$$\mathbb{E} \left\| \frac{1}{n} \sum_{j=1}^n f(\cdot - \hat{\tau}_j + \tau_j^*) - f \right\|_2^2 \geq C \epsilon^2 \frac{c_1(f)^2}{\|f'\|_2 + \epsilon^2 I(g)} > 0.$$

## II - 5 Fiabilité des processus de recalages (3)

**Cadre :**  $Y_j(t) = f(t - \tau_j^*) + \epsilon W_j(t)$  , bruit blanc et  $\tau_j^*$  *i.i.d.*  $\sim g$ .

**Conclusions :**

- ▶ L'estimation des recalages en vue d'obtenir une estimation de  $f$  n'est possible que si  $\epsilon \rightarrow 0$ .
- ▶ Ce genre de résultats a déjà été obtenu par BLV, PTRF '10 lorsqu'on augmente la fréquence d'échantillonnage de la courbes par exemple.
- ▶ Lorsque  $f$  est moins régulière, la borne inférieure devient plus permissive.
- ▶ Les démonstrations exploitent astucieusement l'inégalité de van Tree (inégalité de Cramer-Rao "bayésienne").
- ▶ Cela condamne implicitement la réussite des méthodes dites de recalage (Procruste, Fréchet, ...)
- ▶ Il est important dans ce genre de modèle de supprimer le bruit des données **avant** la phase de recalage.

## I - Introduction

- I - 1 Motivations
- I - 2 Modèle statistique déformable
- I - 3 Question posée

## II Méthodes dites de "Recalage"

- II - 1 Estimation par recalage + moyenne
- II - 2 Définition de la distance adaptée
- II - 4 Application de la Moyenne de Fréchet
- II - 5 Fiabilité des processus de recalages

## III Estimations statistiques dans les modèles de shifts

- III - 1 Approche par déconvolution
- III - 2 Lien avec un problème inverse
- III - 3 Exemple numérique de déconvolution
- III - 4 Bilan sur l'approche déconvolution
- III - 5 Estimation Bayésienne (aspects fréquentistes)

## Conclusion

## Approche par déconvolution (1)

**Cadre :**  $Y_j(t) = f(t - \tau_j) + \epsilon W_j(t)$ , bruit blanc et  $\tau_j$  i.i.d.  $\sim g$ .

On suppose par ailleurs que  $g$  est connue.

**Objectif :** estimer  $f$  ainsi qu'une borne inf et sup (lorsque  $n \rightarrow +\infty$ ) du risque minimax dans la situation des courbes shiftées

$$\mathcal{R}_n(\mathcal{F}) = \inf_{\hat{f}_n} \sup_{f \in \mathcal{F}} \mathcal{R}(\hat{f}_n, f), \text{ où}$$

- ▶  $\mathcal{R}(\hat{f}_n, f) = \mathbb{E} \|\hat{f}_n - f\|^2 = \mathbb{E} \int_0^1 |\hat{f}_n(x) - f(x)|^2 dx$
- ▶  $\mathcal{F} \subset L^2([0, 1])$  boule de Sobolev
- ▶  $\hat{f}_n$  fonction mesurable du processus  $\{Y_j, j = 1, \dots, n\}$

**Comparaison au modèle sans déformation :** Si  $\mathcal{F} = H^s(A)$  (boule de Sobolev de rayon  $A$ ) de régularité  $s$  ("nombres de dérivées") et si les  $\tau_j$  sont nuls alors

$$\mathcal{R}_n(\mathcal{F}) = \inf_{\hat{f}_n} \sup_{f \in \mathcal{F}} \mathcal{R}(\hat{f}_n, f) \sim C_{An}^{-\frac{2s}{2s+1}}$$



## Approche par déconvolution (2)

**Déconvolution ?** L'espérance ponctuelle de chaque courbe :

$$\mathbb{E} [f(x - \tau_j)] = \int_{\mathbb{R}} f(x - \tau)g(\tau)d\tau = f \star g(x)$$

La moyenne des  $n$  courbes vérifie

$$dY(x) = f \star g(x)dx + \underbrace{\xi(x)dx}_{\text{Erreur non Gaussienne}} + \underbrace{\frac{\epsilon}{\sqrt{n}}dW(x)}_{\text{Erreur Gaussienne}}, \quad x \in [0, 1].$$

**Cas de déconvolution classique avec erreur Gaussienne :**

$$dY(x) = f \star g(x)dx + \frac{\epsilon}{\sqrt{n}}dW(x) \quad x \in [0, 1],$$

**Vitesse de convergence minimax :** si  $\gamma_\ell = \int_0^1 e^{-i2\pi\ell\tau}g(\tau)d\tau$  et si

$$\exists \nu > 0 \quad C_{\min}|\ell|^{-\nu} \leq |\gamma_\ell| \leq C_{\max}|\ell|^{-\nu}.$$

alors sur  $\mathcal{F} = H^s(A)$  :

$$\mathcal{R}_n(\mathcal{F}) = \inf_{\hat{f}_n} \sup_{f \in \mathcal{F}} \mathcal{R}(\hat{f}_n, f) \sim C_A n^{-\frac{2s}{2s+2\nu+1}} \quad (\text{au lieu de } n^{-\frac{2s}{2s+1}} \text{ dans le cas direct})$$

## Approche par déconvolution (3)

**Notre cadre :** Si  $\ell \in \mathbb{Z}$ , on pose  $\theta_\ell = \int_0^1 e^{-2i\ell\pi x} f(x) dx$  et  $c_{m,\ell} = \int_0^1 e^{-2i\ell\pi x} dY_m(x)$ . Alors

$$c_{m,\ell} = \theta_\ell e^{-i2\pi\ell\tau_m} + \epsilon_m z_{\ell,m} \text{ où } z_{\ell,m} \sim_{i.i.d.} N_{\mathbb{C}}(0, 1)$$

La moyenne des  $n$  coefficients de Fourier satisfait

$$\tilde{c}_\ell = \frac{1}{n} \sum_{m=1}^n c_{\ell,m} = \theta_\ell \gamma_\ell + \underbrace{\xi_\ell}_{\text{Erreur non Gaussienne}} + \underbrace{\frac{\epsilon}{\sqrt{n}} \eta_\ell}_{\text{Erreur Gaussienne classique}}, \text{ avec } \eta_\ell \sim_{i.i.d.} N_{\mathbb{C}}(0, 1)$$

**Estimation non adaptative :** On estime  $\theta_\ell$  par

$$\hat{\theta}_\ell = \frac{\tilde{c}_\ell}{\gamma_\ell} = \theta_\ell + \frac{\xi_\ell}{\gamma_\ell} + \frac{\epsilon}{\sqrt{n}} \frac{\eta_\ell}{\gamma_\ell}.$$

Connaissant la nature de la décroissance des coefficients de Fourier de  $f$ , on utilise un seuillage haute fréquence :

$$\hat{f}_{n,M}(x) = \sum_{|\ell| \leq M} \hat{\theta}_\ell e^{-i2\pi\ell x}$$

### III - 2 Lien avec un problème inverse (1)

Précisément, la boule de Sobolev de rayon  $A$  est donnée par :

$$H_s(A) = \left\{ f \in L^2([0, 1]) ; \sum_{\ell \in \mathbb{Z}} (1 + |\ell|^{2s}) |\theta_\ell|^2 \leq A, \right\} \text{ avec } A > 0, s > 0$$

**Proposition (BG, A.O.S. '10)**

Si  $M = M_{n,s} \sim n^{\frac{1}{2s+2\nu+1}}$ , alors  $\sup_{f \in H_s(A)} \mathcal{R}(\hat{f}_{n,M_{n,s}}, f) = \mathcal{O}(n^{-\frac{2s}{2s+2\nu+1}})$

**Problème :**

- ▶  $\hat{f}_{n,M_{n,s}}$  dépend de la régularité  $s$  (estimateur non adaptatif)
- ▶ On peut utiliser des ondelettes de Meyer pour obtenir un estimateur "adaptatif" presque aussi bon.

**Question :** L'apparition de ce problème de déconvolution inverse est-il inévitable? (Rôle de  $g$  incontournable)

### III - 2 Lien avec un problème inverse (2)

**Influence de la régularité de  $g$  inévitabilité ? Oui !**

Theorem (BG, A.O.S. '10)

Si  $s > \nu + 1/2$  and  $\nu > 1/2$ , alors il existe une constante  $C(A, s) > 0$  telle que

$$\lim_{n \rightarrow +\infty} n^{\frac{2s}{2s+2\nu+1}} \mathcal{R}_n(H_s(A)) \geq C(A, s)$$

**Outil :** Pour démontrer ce résultat, il s'agit de définir un rapport de vraisemblance entre deux hypothèses par le biais de la formule de Girsanov

- ▶ Hypothèse  $H_f$  :  $Y_m = \tau_m \cdot f + \epsilon W_m$ ,  $m = 1, \dots, n$
- ▶ Hypothèse  $H_{\tilde{f}}$  :  $Y_m(x) = \tau_m \cdot \tilde{f} + \epsilon W_m$ ,  $m = 1, \dots, n$

Puis déduire le rapport de vraisemblance entre deux modèles :

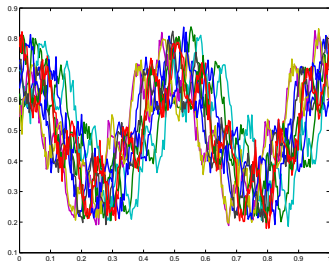
$$\Lambda(P_f, P_{\tilde{f}})(Y) = \frac{\int_0^1 e^{(f^{-\alpha}, dY) - \|f\|^2/2} g(\alpha) d\alpha}{\int_0^1 e^{(\tilde{f}^{-\alpha}, dY) - \|\tilde{f}\|^2/2} g(\alpha) d\alpha}$$

Et enfin finir en utilisant des techniques classiques de cube d'Assouad.

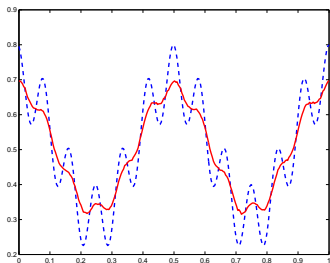
### III - 3 Exemple numérique (déconvolution)

$G = \mathbb{S}^1$  - **group des translations** **Données** : courbes décalées

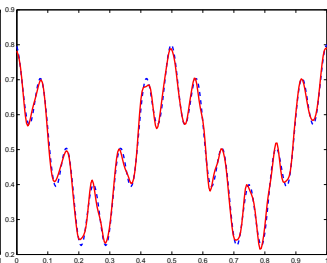
$f \in L^2_{per}([0, 1])$  + bruit blanc gaussien,  $g(x) = \frac{1}{\sqrt{2}\sigma} \exp\left(-\sqrt{2}\frac{|x|}{\sigma}\right)$



**Moyenne euclidienne**

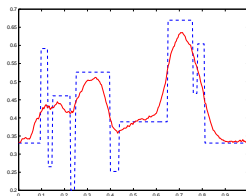


**Déconvolution avec  $g$  connue**

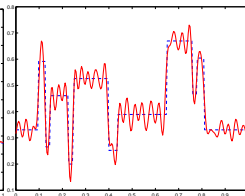


# III - 3 Exemple numérique (déconvolution)

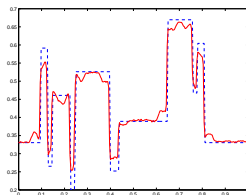
**Moyenne euclidienne**



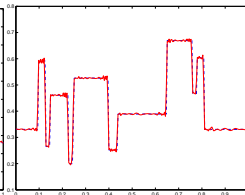
**Déconvolution avec  $g$  connue**



**Moyenne Procruste**



**Moyenne de Fréchet**



## III - 4 Bilan sur l'approche déconvolution

**Cadre :**  $Y_j(t) = f(t - \tau_j) + \epsilon W_j(t)$ , bruit blanc et  $\tau_j$  i.i.d.  $\sim g$ .

**Conclusion :**

- ▶ La régularité de la loi de déformation  $g$  est fondamentale et dégrade la qualité d'estimation. Vitesse en  $(\log(n)/n)^{-2s/(2s+2\nu+1)}$ .
- ▶ La reconstruction est asymp. optimale d'un point de vue fréquentiste.
- ▶ On peut étendre à des bruits un peu différents ces résultats.

**Problème :**

- ▶ L'approche peut ne pas être réaliste en pratique car **la densité  $g$  des déformations shifts est inconnue dans certaines applications.**
- ▶ La moyenne de Fréchet permet de s'absoudre de cette connaissance mais il n'existe pas (encore) d'outils mathématiques efficaces permettant une étude satisfaisante du problème (Bigot & Gendre '12 avec  $\epsilon \rightarrow 0$ )
- ▶ **Question :** Peut-on reconstruire  $f$  dans le cas où  $g$  est inconnue ?

## III - 5 Approche Bayésienne : ultime réponse ?

**Cadre :**

$$Y_j(x) = f^0(x - \tau_j) + \epsilon W_j(x),$$

où  $(\tau_j)$  i.i.d.  $\sim g^0$  et  $f^0$  et  $g^0$  inconnus appartenant à une famille paramétrique / non paramétrique.

**Méthode :** Poser une loi *a priori*  $\pi_1$  sur  $f^0$  et  $\pi_2$  sur  $g^0$ , puis utiliser la loi *a posteriori* pour fabriquer des estimations de  $f^0$  et  $g^0$ .

$$\pi := (\pi_1 \otimes \pi_2) \text{ et } \pi_n := \pi[ \cdot \mid Y_1^n ]$$

**Question 1 :** Lorsque  $n \mapsto +\infty$ , a-t-on  $\pi_n \mapsto \delta_{f^0, g^0}$  dans la situation paramétrique ?

**Question 2 :** Peut-on sortir du cadre paramétrique et quelles en sont les conséquences ?

**Question 3 :** Comment procéder au calcul de l'*a posteriori*, et des estimateurs bayésiens qui en dépendent ?



### III - 5 Approche Bayésienne : rappels

- ▶  $f$  et  $g$  sont paramétrées par  $\theta \in \Theta \subset \mathbb{R}^d$ , espace des paramètres.
- ▶ On suppose que les observations  $(Y_j)_{j=1\dots n}$  sont issues d'un  $\theta^0$  inconnu, ici  $\theta^0 = (\theta_f^0, \theta_g^0)$  et l'estimation de *la moyenne a posteriori* est :

$$\hat{\theta}_n = \mathbb{E}[u | u \sim \pi_n] = \mathbb{E}[\theta | Y_1, \dots, Y_n]$$

#### ▶ Theorem (Le Cam, Schwartz (1965))

*Si  $\pi$  est un a priori tel que*

$$\forall \epsilon > 0 \quad \pi \left( B_{KL}(\theta^0, \epsilon) \right) > 0,$$

*alors*

$$\pi_n(\theta | KL(P_\theta, P_{\theta_0}) > \epsilon_n) \longmapsto 0 \text{ lorsque } n \longmapsto +\infty.$$

**Attention :** C'est un résultat de consistance sur **les lois de probabilités et non sur les paramètres eux-mêmes.**

#### ▶ Theorem (Has'minskii & Ibragimov, 1979)

*Si  $\pi$  est un a priori absolument continu par rapport à la mesure de Lebesgue sur les paramètres  $\Theta$  et de densité  $\pi$  continue et  $\pi(\theta_0) > 0$ , alors sous deux conditions de séparabilités au sens de Hellinger des lois  $P_\theta$ , on a*

$$n^\alpha (\hat{\theta}_n - \theta_0) \longmapsto \theta_0 \text{ où } \alpha \text{ dépend de la séparabilité.}$$

### III - 7 Approche Bayésienne : cadre non-paramétrique (1)

**Dans le domaine de Fourier :** si  $\theta^0 = \theta^0(f) := (\theta_{-\infty}^0, \dots, \theta_{-1}^0, \theta_0^0, \theta_1^0, \dots, \theta_{\infty}^0)$

$$c_\ell = \theta_\ell^0 e^{-i2\pi\ell\tau} + z_\ell \text{ où } z_\ell \sim_{i.i.d.} N_{\mathbb{C}}(0, 1), \quad \tau \sim g^0,$$

soit finalement pour la fréquence  $\ell$  **le modèle de mélange**

$$\mathbb{P}_{\theta^0, g^0}^\ell = \int_0^1 \gamma_{\theta_\ell^0} e^{-i2\pi\ell\tau} dg^0(\tau)$$

**Classe d'identifiabilité :**  $\mathcal{F}_s(A) := \{f \in H_s(A) \text{ et } c_1(f) > 0\}$  et

$$\mathfrak{M}_\nu([0, 1]) := \{g \in \mathfrak{M}([0, 1]) \mid \exists \forall k \in \mathbb{Z} \quad c|k|^{-\nu} < |c_k(g)| < C|k|^{-\nu}\}$$

**Proposition (Bontemps & G. '12)**

Si  $(f, g) \in \mathcal{F}_s(A) \times \mathfrak{M}_\nu([0, 1])$ , alors le modèle est identifiable.

**Idée de la preuve :**

- ▶ Établir que  $d_{VT}(\mathbb{P}_{f,g}^1, \mathbb{P}_{\tilde{f},\tilde{g}}^1) > 0 \Rightarrow c_1(f) = c_1(\tilde{f})$ .
- ▶ En déduire que nécessairement  $g = \tilde{g}$  par méthode Hilbertienne (Parseval) ou transformée de Laplace.
- ▶ Conclure sur les autres coefficients de  $f$  en utilisant les autres marginales de  $\mathbb{P}_{f,g}$ .

### III - 7 Approche Bayésienne : cadre non-paramétrique (2)

Dans le cadre non paramétrique, il est nécessaire de procéder à des arguments de recouvrements de  $\mathbb{P}_{f,g}, (f, g) \in \mathcal{F}_s(A) \times \mathfrak{M}_\nu([0, 1])$ .

#### Theorem (Bontemps & G. '12)

Pour  $\epsilon > 0$  assez petit et si  $\ell_\epsilon$  est tel que  $\log \frac{1}{\epsilon} \lesssim \ell_\epsilon$ , et  $A \lesssim \log \frac{1}{\epsilon}$  alors

$$\log N(\epsilon, \mathcal{F}_s^{\ell_\epsilon}(A) \times \mathfrak{M}_\nu([0, 1]), d_{VT}) \lesssim \ell_\epsilon^2 \log \frac{1}{\epsilon}.$$

- ▶ Résultat un peu rébarbatif . . . mais très important!
- ▶ Application de recouvrements explicites pour les lois de mélanges de gaussiennes utilisant la régularité des lois Gaussiennes (GGvdV '00).
- ▶ Par rapport au contexte paramétrique en  $f$ , et non paramétrique en  $g$ , on "perd" un terme  $\ell_\epsilon : \ell_\epsilon^2 \log \frac{1}{\epsilon}$  au lieu de  $\ell_\epsilon \log \frac{1}{\epsilon}$

**Comportement de l'a posteriori** : En suivant les théorèmes "boite noire" de GGvdV'00, il faut :

- ▶ Majorer la complexité du modèle :

$$\log N(\epsilon_n, \mathcal{F}_s^{\ell_n}(A) \times \mathfrak{M}_\nu([0, 1]), d_{VT}) \lesssim n\epsilon_n^2$$

- ▶ Minorer le poids de l'a priori pour les lois proches des  $\mathbb{P}_{f^0, g^0}$ .

### III - 7 Approche Bayésienne : cadre non-paramétrique (3)

#### Construction de l'*a priori* $\pi$ :

- ▶ On choisit un entier  $\ell_{max}$  suivant une loi vérifiant  $p(\ell_{max} = k) \propto e^{-k^2 \log k}$ .
- ▶ Chaque coefficient "allumé" suit une loi Gaussienne  $\mathcal{N}_{\mathbb{C}}(0, 1)$ .
- ▶ Processus de Dirichlet  $D(\alpha)$  comme *a priori* sur  $g$ .

#### Theorem (Consistance Bayésienne, Bontemps & Gadat '12)

Si  $f^0 \in \mathcal{F}_s(A)$  avec  $s \geq 1$ , alors pour  $\epsilon_n = \left(\frac{\log^{5/2} n}{n}\right)^{2s/(2s+2)}$  :

$$\pi_n \left\{ \mathbb{P}_{f,g} \quad s.t. \quad d_H(\mathbb{P}_{f,g}, \mathbb{P}_{f^0,g^0}) \leq M\epsilon_n \right\} = 1 + O_p(1)$$

#### Commentaires :

- ▶ On obtient une vitesse polynomiale !
- ▶ On paye le  $\ell_{\epsilon}^2 \log \frac{1}{\epsilon}$  en obtenant une vitesse  $2s/(2s+2)$  au lieu de  $2s/(2s+1)$ , il faut estimer  $f^0$  et  $g^0$ .

### III - 7 Approche Bayésienne : cadre non-paramétrique (4)

**Revenir aux objets sur  $\mathcal{F}_s(A)$  ou  $\mathfrak{M}_\nu([0, 1])$  ?**

- ▶ Implicitement, cela pose implicitement la question d'identifiabilité.
- ▶ On peut 'facilement' déduire une vitesse polynomiale sur le premier coefficient de Fourier  $\theta_1^0$  du théorème précédent.
- ▶ Pour  $g$ , il faut utiliser une minoration du type

$$d_{VT}(\mathbb{P}_{f,g}, \mathbb{P}_{f,g^0}) \geq C(\theta_1^0) \sum_{n \in \mathbb{Z}} |c_n(g - g^0)|^2 \omega_n^2,$$

où  $\omega_n$  est à relier à la fonction de Bessel modifiée (densité d'une CTRW).  
Malheureusement,  $\omega_n^2 \sim e^{-n \log n}$  !

- ▶ Très forte dégénérescence du problème inverse.

**Theorem (Consistance Bayésienne, Bontemps & Gadat '12)**

Si  $(f^0, g^0) \in \mathcal{F}_s(A) \times \mathfrak{M}_\nu([0, 1])$  inconnus, alors

$$\Pi_n \left( g : \|g - g^0\|_2^2 > M \log^{-2\nu}(n) |Y_1, \dots, Y_n \right) \mapsto 0$$

$$\Pi_n \left( f : \|f - f^0\|_2^2 > M (\log n)^{-2s \times \frac{2\nu}{2s+2\nu+1}} |Y_1, \dots, Y_n \right) \longrightarrow 0$$

### III - 7 Approche Bayésienne : cadre non-paramétrique (4)

#### Optimalité des bornes précédentes ?

- ▶ Il s'agit de voir si l'injectivité de l'application  $(f, g) \mapsto \mathbb{P}_{f,g}$  est suffisamment "précise".
- ▶ Dans la preuve de l'identifiabilité, on constate que les difficultés arrivent lorsque les modules des coeffs. de Fourier sont égaux :  $|\theta_\ell^0| = |\theta_\ell|$ .
- ▶ On construit des fonctions tests  $f_j(x) = e^{i2\pi x} + \theta_j e^{i2\pi p x}$  avec  $|\theta_j| = |\theta_{j'}|, \forall j \neq j'$  et  $g_j$  telle que  $f_j \star g_j \simeq f_{j'} \star g_{j'}$ .

On peut alors calibrer  $p(n)$  et  $\theta_j(n)$  et appliquer le lemme de Fano et obtenir

#### Theorem (Bontemps & Gadat '12)

Si  $(f^0, g^0) \in \mathcal{F}_s(A) \times \mathfrak{M}_\nu([0, 1])$ , on peut trouver  $c$  tel que le risque minimax sur  $\mathcal{F}_s(A) \times \mathfrak{M}_\nu([0, 1])$  est minoré par

$$\liminf_{n \rightarrow +\infty} (\log n)^{2s+2} \inf_{\hat{f} \in \mathcal{F}_s(A)} \sup_{(f^0, g^0) \in \mathcal{F}_s(A) \times \mathfrak{M}_\nu([0, 1])} \|\hat{f} - f\|_2^2 \geq c,$$

et

$$\liminf_{n \rightarrow +\infty} (\log n)^{2\nu+1} \inf_{\hat{g} \in \mathcal{F}_s(A)} \sup_{(f^0, g^0) \in \mathcal{F}_s(A) \times \mathfrak{M}_\nu([0, 1])} \|\hat{g} - g\|_2^2 \geq c.$$

## I - Introduction

- I - 1 Motivations
- I - 2 Modèle statistique déformable
- I - 3 Question posée

## II Méthodes dites de "Recalage"

- II - 1 Estimation par recalage + moyenne
- II - 2 Définition de la distance adaptée
- II - 4 Application de la Moyenne de Fréchet
- II - 5 Fiabilité des processus de recalages

## III Estimations statistiques dans les modèles de shifts

- III - 1 Approche par déconvolution
- III - 2 Lien avec un problème inverse
- III - 3 Exemple numérique de déconvolution
- III - 4 Bilan sur l'approche déconvolution
- III - 5 Estimation Bayésienne (aspects fréquentistes)

## Conclusion

## Conclusion

- ▶ Il est important de supprimer le bruit des observations avant la mise en oeuvre d'une procédure de recalage.
- ▶ Le problème est de nature problème inverse avec opérateur inconnu ou partiellement inconnu.
- ▶ La régularité de l'opération de déformation joue un rôle important dans les vitesses d'estimation atteignables.
- ▶ Optimalité des vitesses en statistiques bayésiennes ?
- ▶ Extension à d'autres types de problèmes que du traitement du signal possible.
- ▶ Question ouverte pour des algorithmes efficaces de simulation de loi *a posteriori*...



# Bibliographie

- [1] Allasonnière, S. & Kuhn, E. & Trouvé, A. (2010) Construction of Bayesian deformable models via stochastic approximation algorithm : A convergence study. *Bernoulli Journal*, 16 (3), p.641-678.
- [2] Bhattacharya, R. & Patrangenaru, V. (2003). Large sample theory of intrinsic and extrinsic sample means on manifolds (i). *Annals of statistics*, 31(1) :1–29.
- [4] Bigot, J., Gadat, S. , Klein, T. & Marteau, C. (2012) Intensity estimation of non-homogeneous Poisson processes from shifted trajectories, Preprint.
- [4] Bigot, J. & Gadat, S. (2010) A deconvolution approach to estimation of a common shape in a shifted curves model, *Annals of Statistics*, 38(4), 2422-2464.
- [5] Bigot, J. & Charlier B. (2011) On the consistency of Fréchet means in deformable models for curve and image analysis, *Electronic Journal of Statistics*, 5, 1054-1089.
- [6] Bigot, J., Christophe C. & Gadat, S. (2012) Random action of compact Lie groups and minimax estimation of a mean pattern, *IEEE Transactions on Information Theory*, 58(5), to be published. .
- [7] Bigot, J. & Gendre, X. (2012) Minimax properties of Fréchet means of discretely sampled curves, Preprint.
- [8] Bontemps, D & Gadat, S. (2012) Bayesian consistency in the non parametric randomly shifted curves model, preprint.